Ralph Ernstorfer

Spectroscopic investigation of photoinduced heterogeneous electron transfer

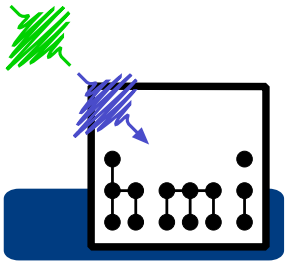

im Fachbereich Physik
der Freien Universität Berlin
eingereichte Dissertation

Berlin - Mai 2004

Abgabe der Dissertation:	27.05.2004
Tag der Disputation:	09.07.2004
Erstgutachter:	Prof. Dr. Frank Willig
Zweitgutachter:	Prof. Dr. Ludger Wöste
Drittgutachter:	Prof. Dr. R. J. Dwayne Miller
	Prof. Dr. Eberhard Riedle
Befürwortender Professor:	Prof. Dr. Martin Wolf

Ralph Ernstorfer

Spectroscopic investigation of photoinduced heterogeneous electron transfer

Abstract

The dynamics of heterogeneous electron transfer are investigated by using several spectroscopic techniques. The system under study is the perylene chromophore chemically linked via different bridge-anchor groups onto the surface of nano-structured TiO_2 anatase. The energetics of the interface are characterized by UPS and XPS, revealing the molecular donor level at around 800 meV above the minimum of the conduction band of the solid. In this regime, the electron injection kinetics directly reflect the interfacial electronic coupling. The kinetics of the forward and the backward interfacial electron transfer are studied by pump-probe spectroscopy. The electron injection from perylene directly bound to the surface with a carboxylic group occurs with a time constant of 13 fs. The exchange of the anchor group by a phosphonic acid as well as the insertion of electronically saturated (sp^3-hybridized) molecular units in-between the chromophore and the anchor groups systematically decelerates the electron injection. The insertion of a rigid 1 nm long molecular "tripod" stretches the electron transfer kinetics into the picosecond range. Fast (slow) electron injection is followed by fast (slow) recombination. A specific conjugated bridge is found to function as a "molecular wire" with respect to electron injection but as an sp^3-hybridized analog with respect to recombination. The observed differences in the injection times for different bridge-anchor groups can be explained in terms of the molecular structures. The excited state wave functions of the isolated dyes, obtained by semi-empirical calculations, can predict qualitative trends for the interfacial electronic interaction and thus for the injection time. A rate equation model is applied for the extraction of the time constants. The validity of this model for the extraction of population kinetics on the time scale of electronic dephasing processes is verified by comparison with an adequate optical Bloch equations model. Specific experimental achievements are firstly the construction of an ultra-high vacuum chamber, with the option of introducing high purity gases and liquids, and secondly the generation of tunable sub-20 fs laser pulses by a non-collinear optical parametric amplifier at a repetition rate of 100 kHz. In particular, sub-15 fs pulses are generated in the spectral range of the perylene absorption around 435 nm. Both molecular and semiconductor moieties are characterized by stationary absorption and emission spectroscopy, FT-IR and Raman spectroscopy, as well as time-correlated single photon counting.

Ralph Ernstorfer

Spectroscopic investigation of photoinduced heterogeneous electron transfer

Kurzzusammenfassung

Mittels verschiedener spektroskopischer Methoden wurde die Dynamik von heterogenem Elektronentranfer an dem System Perylen-TiO_2 untersucht. Der Farbstoff Perylen wurde mit verschiedenen Brücke-Anker-Gruppen an die Oberfläche von nano-strukturiertem Anatas gebunden. Die elektronische Struktur der Farbstoff-Halbleiter-Grenzfläche wurde mit UPS und XPS charakterisiert. Daraus konnte die energetische Lage des Donorniveaus der Elektronentransferreaktion zu circa 800 meV oberhalb des Leitungsbandminimums des Halbleiters bestimmt werden. In dieser Situation spiegelt die Geschwindigkeit der Elektroneninjektion direkt die elektronische Kopplung zwischen Adsorbat und Festkörper wider. Die Kinetik der Elektroneninjektion und der Rekombination wurde mit Pump-Probe-Spektroskopie untersucht. Der direkt mittels einer Carboxylgruppe an die Oberfläche gebundene Farbstoff injiziert mit einer Zeitkonstanten von 13 fs. Sowohl der Austausch dieser Ankergruppe gegen eine Phosphonatfunktion als auch das Einfügen von elektronisch gesättigten, d.h. sp^3-hybridisierten, molekularen Gruppen zwischen Chromophoren und Anker verlangsamt die Elektroneninjektion systematisch. Das Einfügen einer starren, 1 nm langen Gruppe (sog. "Tripod") verlangsamt den Elektronentransfer bis in den ps-Bereich. Für die verschiedenen gesättigten Brücke-Anker-Gruppen korreliert die Geschwindigkeit der Elektroneninjektion mit der Rekombinationskinetik. Eine bestimmte konjugierte Brücke hingegen verhält sich wie ein molekularer Draht bezüglich der Injektion, jedoch wie das sp^3-hybridisierte Analogon bezüglich der Rückreaktion. Die experimentell beobachteten Unterschiede in den Injektionszeiten für die verschiedenen Brücke-Anker-Gruppen können in Abhängigkeit der molekularen Eigenschaften erklärt werden. Anhand der Wellenfunktionen der angeregten Zustände, die mittels semi-empirischer Methoden berechnet wurden, lässt sich qualitativ der Trend für die elektronische Kopplung des Moleküls an die Oberfläche und somit die Injektionszeit vorhersagen. Die Pump-Probe-Signale wurden mit einem Ratenkonstanten-Modell ausgewertet. Die Zuverlässigkeit dieser Methode zur Auswertung von Reaktionen, die auf der Zeitskala der elektronischen Dephasierung ablaufen, wurde durch einen Vergleich mit den optischen Bloch-Gleichungen überprüft. Experimentelle Entwicklungen im Rahmen dieser Arbeit sind unter anderem die Konstruktion einer Ultrahochvakuum-Kammer, die das Einbringen und Entfernen einer definierten Gas- oder Flüssigkeitsumgebung erlaubt, und die Erzeugung von verstimmbaren sub-20 fs Laserpulsen mittels eines nicht-kollinearen optisch-parametrischen Verstärkers bei einer Repetitionsrate von 100 kHz. Insbesondere

konnten damit sub-15 fs Pulse im Bereich der Grundzustandsabsorption von Perylen um 435 nm erzeugt werden. Sowohl die verschiedenen Farbstoffe als auch der Halbleiter wurden mittels stationärer Absorption, Fluoreszenzspektroskopie, FT-IR- und Raman-Spektroskopie und zeitkorrelierter Einzelphotonen Zähltechnik charakterisiert.

Contents

Publications

List of papers

1. R. Ernstorfer, L. Töben, L. Gundlach, S. Felber, E. Galoppini, Q. Wei, R. Eichberger, W. Storck, C. Zimmermann, F. Willig, *Femtosecond electron injection from optically populated donor states into the conduction band of semiconductors*, Proc. SPIE Int. Soc. Opt. Eng. **5223**, 110, 2003.

2. R. Ernstorfer, L. Gundlach, S. Felber, C. Zimmermann, R. Eichberger, Q. Wei, E. Galoppini, and F. Willig, *Influence of molecular spacers on ultrafast heterogeneous electron transfer*, in: M. M. Martin, J. T. Heynes (Eds.), Femtochemistry and Femtobiology, Ultrafast Events in Molecular Science, Elsevier, 521, 2004.

3. L. Gundlach, R. Ernstorfer, C. Zimmermann, R. Eichberger, S. Felber, L. Töben, E. Galoppini, Q. Wei, and F. Willig, *Heterogeneous electron transfer probed with femtosecond two-photon photoemission spectroscopy*, in: M. M. Martin, J. T. Heynes (Eds.), Femtochemistry and Femtobiology, Ultrafast Events in Molecular Science, Elsevier, 529, 2004.

4. K. Schwarzburg, R. Ernstorfer, S. Felber, and F. Willig, *Primary and final charge separation in the nano-structured dye-sensitized electrochemical solar cell*, Coord. Chem. Rev., accepted.

5. R. Ernstorfer, L. Gundlach, C. Zimmermann, F. Willig, R. Eichberger, and E. Riedle, *Generation of sub-20 fs tunable visible pulses from a 100 kHz NOPA for measuring ultrafast heterogeneous electron transfer*, Ultrafast Optics IV, 389, 2004.

6. R. Ernstorfer, S. Felber, W. Storck, E. Galoppini, Q. Wei, and F. Willig, *Distance dependence of heterogeneous electron transfer probed in ultrahigh vacuum with femtosecond transient absorption*, Res. Chem. Interm., in print.

7. J. Piel, E. Riedle, L. Gundlach, R. Ernstorfer, and R. Eichberger, *Tunable sub-20 fs visible pulses at 100 kHz repetition rate*, as manuscript.

8. R. Ernstorfer, L. Gundlach, S. Felber, R. Eichberger, W. Storck, and F. Willig, *Anchor group-dependent heterogeneous electron transfer from perylene to nanostructured TiO_2*, as manuscript.

9. R. Ernstorfer, L. Gundlach, S. Felber, R. Eichberger, W. Storck, F. Willig, M.J. Lundqvist, and P. Persson, *Through-bridge mediated vs. through-space mediated heterogeneous electron transfer*, in preparation.

10. R. Ernstorfer, L. Gundlach, T. Hannappel, S. Kubala, and F. Willig, in preparation.

Submitted patents

1. F. Willig, R. Ernstorfer, T. Hannappel, and S. Kubala, *Vorrichtung und Verfahren zur nasschemischen Präparation von hochreinen Festkörperoberflächen*, submitted to Deutsches Patent- und Markenamt.

2. R. Ernstorfer, *Fenster für eine Ultrahochvakuum-Kammer*, submitted to Deutsches Patent- und Markenamt.

Oral presentations

1. R. Ernstorfer, L. Gundlach, S. Felber, R. Eichberger, C. Zimmermann, W. Storck, and F. Willig, *Ultrafast molecule to semiconductor electron transfer via different anchor groups in ultra-high-vacuum*, Ultrafast Phenomena 2004, accepted.

2. R. Ernstorfer, L. Gundlach, S. Felber, P. Persson, T. Letzig, C. Zimmermann, R. Eichberger, and F. Willig, *Pump-Probe-Spectroscopy of Ultrafast Heterogeneous Electron Transfer from Perylene to colloidal TiO_2*, DPG Frühjahrstagung, 2004.

3. R. Ernstorfer, L. Gundlach, C. Zimmermann, F. Willig, R. Eichberger, and E. Riedle, *Generation of sub-20 fs tunable visible pulses from a 100 kHz NOPA for measuring ultrafast heterogeneous electron transfer*, Ultrafast Optics, 2003.

4. R. Ernstorfer, L. Gundlach, S. Felber, R. Eichberger, C. Zimmermann, W. Storck, and F. Willig, *Ultrafast electron injection into the conduction band of semiconductors*, SFB 450 workshop ACU II, 2003.

5. R. Ernstorfer, C. Zimmermann, S. Felber, L. Gundlach, W. Storck, R. Eichberger, E. Galoppini, Q. Wei, and F. Willig, *Spectroscopy of Ultrafast Heterogenous Electron Transfer from Perylene to colloidal TiO_2*, DPG Frühjahrstagung, 2003.

Poster presentations

1. R. Ernstorfer, L. Gundlach, S. Felber, C. Zimmermann, R. Eichberger, Q. Wei, E. Galoppini, and F. Willig, *Influence of molecular spacers on ultrafast heterogeneous electron transfer*, Femtochemistry VI, 2003.

The following are publications to that I have contributed but which are not included in this thesis due to the limited extent of this contribution.

- L. Töben, L. Gundlach, T. Hannappel, R. Ernstorfer, R. Eichberger, and F. Willig, *Dynamics of electron scattering between bulk states and the C_1 surface state of InP(100)*, Appl. Phys. A **78** (2004) 239
- L. Töben, T. Hannappel, R. Eichberger, K. Möller, L. Gundlach, R. Ernstorfer, and F. Willig, *Two-photon photoemission as a probe of unoccupied and occupied surface states of InP(100)*, J. Cryst. Growth. **248C** (2003) 206.

List of Figures

List of Tables

Acronyms

AC	autocorrelation
ADC	analog to digital converter
BET	Brunauer-Emmet-Teller method
BBO	β-barium borate
CBM	conduction band minimum
CC	cross-correlation
CI	configuration interaction
CT	charge transfer
DFT	density functional theory
DOS	density of states
DSSC	dye sensitized solar cell
DTB	di-tertiary-butyl
EA	electron affinity
EDC	energy distribution curve
ET	electron transfer
FT-IR	Fourier-transform infrared (spectroscopy)
FWHM	full width half maximum
GVD	group velocity dispersion
GVM	group velocity mismatch
HOMO	highest occupied molecular orbital
IR	infrared
ISC	intersystem crossing
IVR	intramolecular vibrational redistribution
LUMO	lowest unoccupied molecular orbital
MO	molecular orbital
NIR	near infrared
NOPA	non-collinear optical parametric amplification/amplifier
OBE	optical Bloch equations
OD	optical density
OPA	(collinear) optical parametric amplification/amplifier
Pe	perylene
PDOS	projected density of states
PDOS_{dye}	projected density of states on the dye
RHF	spin restricted Hartree-Fock calculation

SEM	scanning electron microscopy
SHG	second harmonic generation
SPC	single photon counting
TDDFT	time-dependent density functional theory
TEM	transmission electron microscopy
TTB	tetra-tertiary-butyl
UHF	spin unrestricted Hartree-Fock calculation
UHV	ultrahigh vacuum
UPS	ultraviolet photoelectron spectroscopy
UV	ultraviolet
VBM	valence band maximum
wlc	white-light continuum
XPS	X-ray photoelectron spectroscopy
XRD	X-ray diffraction

Abbreviations

E_{act}	activation energy
E_n	eigenvalue of state n
$E_{probe}(t)$	probe field
$E_{pump}(t)$	pump field
$\delta_{i,j}$	Kronecker δ-function
$FC_{n,n'}$	Franck-Condon factor between vibronic states n and n'
$FCWD$	Franck-Condon-weighted density of states
ΔG^0	standard Gibbs free energy
Γ	level broadening
h	Planck's constant
$\hbar$	$h/2\pi$
$I_{pp}^{cat}(t_d)$	time-dependent cation absorption signal
$I_{pp,seq}^{cat}(t_d)$	sequential part of the time-dependent cation absorption signal
λ	reorganization energy
$\boldsymbol{\mu}$	transition dipole
$N_{cat}(t)$	cation ground state population (rate equation model)
$N_{exc}(t)$	excited state population (rate equation model)
$P^{(3)}(t, t_d)$	3rd-order polarization
$\boldsymbol{p}$	static electric dipole
$\boldsymbol{p_{tot}}$	total electric dipole of all occupied states
$\boldsymbol{p_{exc}}$	electric dipole of the excited state
$\Psi_n(r)$	eigenfunction of state n
$\boldsymbol{\rho}$, $\rho_{i,j}$	density matrix, single element
$\rho_{dye,n}$	projected charge density on the dye of state n
τ_{fluor}	fluorescence lifetime
τ_{inj}	injection time constant
τ_{rec}	recombination time constant
T_1	energy/population relaxation time
T_2	dephasing time
T_2^*	"pure" dephasing time
t_d	delay time